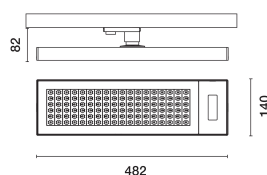


Dernière mise à jour des informations: Avril 2025

Configuration du produit: PZ29.S2

PZ29.S2: Corps éclairant L=430 - Organic Response - Optique Very Wide Flood (Down) - UGR<19 - 16.8W 2523lm - 3500K - Noir/Blanc/Blanc Transparent



Référence produit

PZ29.S2: Corps éclairant L=430 - Organic Response - Optique Very Wide Flood (Down) - UGR<19 - 16.8W 2523lm - 3500K - Noir/Blanc/Blanc Transparent

Description technique

Corps éclairant en aluminium extrudé peint, collerette et embouts en matière thermoplastique moulée par injection. Optique Very Wide Flood (80°) en version Space Opti-Diamond (PMMA) avec cache postérieur en version blanche (Blanc transparent) ou noire (Noir transparent). Bloc d'alimentation intégré et source LED (Mid-Power) monochrome 3500K IRC80 à émission directe. Version à luminance contrôlée UGR < 19 - conforme à la norme en matière d'utilisation en lieux équipés d'écrans d'affichage ($L \leq 3000 \text{ cd/m}^2$). Appareil équipé de multi-capteur sans fil Organic Response, avec détecteur de lux et de mouvement. Technologie Wirepas, Bluetooth, IR et détection PIR. Dans des systèmes de base en configuration Plug&Play, l'appareil fonctionne en mode stand-alone/autonome (motion control) et communique automatiquement avec d'autres appareils d'éclairage proches équipés du même capteur Organic Response. Pour des fonctions avancées comme le contrôle daylight et la modification des paramètres de fonctionnement, l'application Organic Response Express, disponible sur App Store et Play Store, peut être utilisée. Disponibilité d'accessoires comme boutons BLE, dongle et gateway pour architectures de système connectées au Portail Organic Response, à travers lequel d'autres fonctions du capteur peuvent être utilisées, comme les Analytics et Space Management. Fréquence sans fil/wireless 2.4 GHz / IR 38 kHz. Balise intégrée et activable à travers Portail Organic Response (protocole iBeacon). Possibilité de rotation sur l'axe vertical de 360° avec blocage mécanique.

Installation

Installation sur rails à tension de réseau.

Hauteur de positionnement min 2,7 m / max 3,7 m. Distance entre appareils min 1,0 m / max 3,0 m

Pour d'autres valeurs de hauteur/distances de positionnement, contacter iGuzzini ou consulter la notice.

Diamètre de couverture typique du détecteur de mouvement : 3 m (installé à une hauteur de 2,7 m), 58°

Coloris

Noir/Blanc/Blanc Transparent (S2)

Poids (Kg)

1.66

Remarque

Spécifications :

Valeurs par défaut Plug&Play (modifiables depuis application Organic Response Express) :

- Niveau de lumière maximum avec présence (max light) : 100%

- Attente avant de passer à niveau de lumière bas (dwell time) : 10 min

- Niveau de lumière bas (low light) : 10%

- Temps à niveau de lumière bas (low light time) : 10 min

- Valeur de lumière min. après temps du niveau bas (min light) : 0% (OFF)

- Contrôle daylight : désactivé et activable depuis application BR> - Double temps du capteur qui a détecté le dernier état de présence (double dwell time) : désactivé

- Distance Mesh RF capteur-capteur gateway : Wirepas, distance max. 8m (en ligne directe sans obstacles).

- Connexion capteur-smartphone-bouton : Bluetooth.

Pour la programmation avancée avec portail Organic Response, le dongle IR et le gateway sont nécessaires.

Conforme à la norme EN60598-1 et à la réglementation en vigueur (ou à la réglementation relative)



Données techniques

Im du système:	2523	MacAdam Step:	3
W du système:	14	Code Lampe:	LED
Im source:	2900	Nombre de lampes par groupe optique:	1
W source:	14	Code ZVEI:	LED
Efficacité lumineuse (lm/W, valeurs du système):	180.2	Nombre de groupes optiques:	1
Im en mode secours:	-	Facteur de puissance:	Voir Notice de montage
Flux total émis à un angle de 90° ou plus [Lm]:	0	Courant d'appel:	10 A / 220 µs
Light Output Ratio (L.O.R.) [%]:	87	Nombre maximal d'appareils par disjoncteur:	B10A: 18 appareils B16A: 30 appareils C10A: 31 appareils C16A: 51 appareils
IRC (minimum):	80	% minimum de gradation:	1
Température de couleur [K]:	3500	Protection de surtension:	2kV Mode commun e 1kV Mode différentiel

I_{max}=1842 cd **C35-215 γ=15°**
CIE
 nL 0.87
 85-97-99-100-87
 UGR 14.5-13.6
DIN
 A.61
UTE
 0.87 A+0.00T
 F"1=846
 F"1+F"2=966
 F"1+F"2+F"3=992
CIBSE
 LG3 L<1500 cd/m² at 65°
 UGR<16 | L<1500 cd/mq @

	R	77	75	73	71	55	53	33	00	DRR
K0.8	72	67	63	60	66	62	62	58	67	
1.0	77	72	68	65	71	67	67	63	73	
1.5	82	79	75	73	77	75	74	70	81	
2.0	86	83	80	78	82	79	78	75	87	
2.5	88	85	84	82	84	82	81	78	90	
3.0	89	87	86	84	86	85	83	81	93	
4.0	91	89	88	87	88	87	85	83	95	
5.0	91	90	89	88	89	88	86	84	96	

Figure 1 is a graph showing the relationship between the angle of incidence (α) and the irradiance (E) for different solar collectors. The y-axis represents the angle of incidence α in degrees, ranging from 45° to 85°. The x-axis represents the irradiance E in cd/m^2 on a logarithmic scale, ranging from 10^2 to 10^4 . Three curves are plotted: a red dashed line for C0-180, a cyan solid line for C90-270, and a red dashed line for C0-270. The curves show that for a given angle of incidence, the irradiance is highest for the C0-180 collector and lowest for the C0-270 collector. The C90-270 collector shows a sharp drop in irradiance as the angle of incidence increases beyond 60°.

Diagramme UGR

Corrected UGR values (at 2900 lm bare lamp luminous flux)												
Reflect.: ceiling/cav walls work pl. Room dim x y		0.70	0.70	0.50	0.50	0.30	0.70	0.70	0.50	0.50	0.30	0.30
		0.50	0.30	0.50	0.30	0.30	0.50	0.30	0.50	0.30	0.30	0.30
		0.20	0.20	0.20	0.20	0.20	0.20	0.20	0.20	0.20	0.20	0.20
		viewed crosswise					viewed endwise					
2H	2H	14.4	15.2	14.7	15.4	15.7	13.6	14.4	13.9	14.7	14.9	14.9
	3H	14.5	15.2	14.8	15.5	15.7	13.6	14.3	13.9	14.5	14.8	14.8
	4H	14.5	15.2	14.9	15.5	15.8	13.5	14.2	13.9	14.5	14.8	14.8
	6H	14.5	15.1	14.9	15.4	15.8	13.5	14.1	13.8	14.4	14.7	14.7
	8H	14.5	15.1	14.9	15.4	15.8	13.4	14.0	13.8	14.3	14.7	14.7
	12H	14.5	15.1	14.9	15.4	15.8	13.4	13.9	13.8	14.3	14.6	14.6
4H	2H	14.3	14.9	14.6	15.2	15.5	13.7	14.3	14.0	14.6	14.9	14.9
	3H	14.4	14.9	14.8	15.3	15.6	13.7	14.2	14.1	14.6	14.9	14.9
	4H	14.5	14.9	14.9	15.3	15.7	13.6	14.1	14.1	14.5	14.9	14.9
	6H	14.5	14.9	14.9	15.3	15.7	13.6	14.0	14.0	14.4	14.9	14.9
	8H	14.5	14.9	14.9	15.3	15.7	13.6	14.0	14.0	14.4	14.8	14.8
	12H	14.5	14.8	14.9	15.3	15.7	13.5	13.9	14.0	14.3	14.8	14.8
8H	4H	14.4	14.8	14.8	15.2	15.6	13.7	14.1	14.1	14.5	14.9	14.9
	6H	14.5	14.8	14.9	15.2	15.7	13.7	14.0	14.1	14.4	14.9	14.9
	8H	14.5	14.7	14.9	15.2	15.7	13.6	13.9	14.1	14.4	14.9	14.9
	12H	14.5	14.7	15.0	15.2	15.7	13.6	13.9	14.1	14.3	14.9	14.9
12H	4H	14.3	14.7	14.8	15.1	15.6	13.6	14.0	14.1	14.4	14.9	14.9
	6H	14.4	14.7	14.9	15.2	15.7	13.6	13.9	14.1	14.4	14.9	14.9
	8H	14.4	14.7	14.9	15.2	15.7	13.6	13.9	14.1	14.4	14.9	14.9
Variations with the observer position at spacing:												
S =		1.0H	2.8 / -4.0		3.0 / -4.4							
		1.5H	5.2 / -4.6		5.3 / -5.0							
		2.0H	7.2 / -5.1		7.2 / -5.2							